

УДК 541.49:546.831:543.429.23

**ИОННАЯ ПОДВИЖНОСТЬ В ГЕПТАФТОРОЦИРКОНАТЕ АММОНИЯ—РУБИДИЯ
 $(\text{NH}_4)_{2,4}\text{Rb}_{0,6}\text{ZrF}_7$ ПО ДАННЫМ ЯМР (^1H , ^{19}F)**

© 2008 В.Я. Кавун*, И.А. Ткаченко, Н.А. Диценко, В.И. Сергиенко

Институт химии ДВО РАН, Владивосток

Статья поступила 22 января 2008 г.

Методами ЯМР (^{19}F , ^1H) исследована ионная подвижность в гептафтороцирконате $(\text{NH}_4)_{2,4}\text{Rb}_{0,6}\text{ZrF}_7$ в диапазоне температур 150–430 К. Установлены виды ионных движений и оценена энергия их активации. В результате фазового перехода образуется модификация, в которой наблюдаются диффузия в аммонийной подрешетке и изотропные реориентации комплексных анионов ZrF_7^{3-} . По предварительным данным за счет диффузии ионов аммония соединение обладает относительно высокой ионной проводимостью ($\sigma \approx 8,3 \times 10^{-5}$ См/см при 423 К).

Ключевые слова: спектры ЯМР (^{19}F , ^1H), гептафтороцирконат аммония—рубидия, ионная подвижность, ионная проводимость.

ВВЕДЕНИЕ

Анализ данных по исследованию соединений с высокой ионной подвижностью и проводимостью показывает, что к их числу могут быть отнесены фтороцирконаты, характеризующиеся как цепочечным, так и островным строением комплексного аниона [1–11]. Существенным различием между соединениями с разным строением аниона является диапазон температур, в котором реализуется та или иная форма ионных движений. Варьирование состава катионной подрешетки может существенным образом изменять характер динамических процессов в кристаллической решетке комплексных соединений циркония при изменении температуры [5, 10]. В частности, замещение одного из внешнесферных катионов М в $\text{M}_2\text{Zr}(\text{Hf})\text{F}_6$ на другой катион М зачастую приводит к образованию соединений, отличающихся строением, характером и энергетикой ионных движений [10]. Так, например, во многих гексафторокомплексах металлов IV группы с гетероатомными катионами происходит понижение энергии активации локальных движений комплексных анионов по сравнению с соединениями с однородными катионами. Поэтому не исключено, что если в комплексах циркония $(\text{NH}_4)_3\text{ZrF}_7$, обладающих высокой ионной проводимостью [5, 7], заместить один из ионов аммония катионом другой природы, то получится соединение, в котором высокая ионная подвижность будет развиваться при более низких температурах, чем в исходном соединении. Для проверки этого предположения и поиска соединений с высокими транспортными свойствами ионов был синтезирован ряд гептафтороцирконатов, катионная подрешетка которых содержит ионы аммония и рубидия, и изучен характер динамических процессов в одном из этих соединений в диапазоне температур 150–430 К.

ЭКСПЕРИМЕНТАЛЬНАЯ ЧАСТЬ

Поликристаллы $(\text{NH}_4)_{2,4}\text{Rb}_{0,6}\text{ZrF}_7$ (I) как индивидуальная фаза выделены при последовательной кристаллизации осадков при комнатной температуре из системы, содержащей раствор

* E-mail: kavun@ich.dvo.ru

ZrO_2 в 40%-й фтористоводородной кислоте и смеси фторидов аммония и рубидия с мольным отношением к диоксиду циркония соответственно 2 и 1 ($\text{NH}_4^+/\text{Rb}^+ = 2,0$). Поликристаллы $(\text{NH}_4)_3\text{ZrF}_7$ (II) получены по методике, описанной в [12]. Химический анализ соединений I и II проводили согласно методикам, описанным в работе [13].

Спектры ЯМР ^{19}F , ^1H записывали на спектрометрах фирмы "Bruker" SWL 3-100 (84,66 МГц) и AVANCE-300 (282,404 МГц — для ядер фтора) в диапазоне температур (150—430) ± 2 К. Методики измерения второго момента спектров ЯМР S_2 (Гс^2), ширины интегральной линии ΔH (на половине высоты в кГц), химического сдвига δ ^{19}F (ХС, м.д. относительно сигнала от C_6F_6) и оценки энергии активации ионных движений E_a (кДж/моль) описаны в работах [13, 14].

РЕЗУЛЬТАТЫ И ИХ ОБСУЖДЕНИЕ

Характерные трансформации формы и величины второго момента (S_2) спектров ЯМР ^{19}F , ^1H исследуемого соединения при вариациях температуры показаны на рис. 1 и 2. Изменение формы, ширины и второго момента спектров ЯМР твердых тел при вариациях температуры, как правило, обусловлено изменением динамического состояния резонирующих ядер, вызванного, например, появлением реориентационных или диффузионных движений ионов или их группировок [1, 2, 10, 15, 16].

В области температур 150—300 К спектры ЯМР ^1H соединения $(\text{NH}_4)_{2,4}\text{Rb}_{0,6}\text{ZrF}_7$ состоят из одиночной линии, описываемой сверткой гауссовой функции и прямоугольника, параметры которой характерны для изотропных реориентаций тетраэдрических ионов аммония [10]. Наблюдаемое увеличение ширины линии ΔH (23,5 \rightarrow 26 кГц) и второго момента S_2 (4,2 \rightarrow 5,8 Гс 2) ниже 170 К, как и в случае $(\text{NH}_4)_3\text{ZrF}_7$ [2, 7], вероятнее всего, связано с некоторой стабилизацией водородных связей $\text{H}\cdots\text{F}$, вызванной уменьшением тепловых колебаний ионов в решетке при низких температурах, что и отражается на значениях $S_2(\text{H})$ и $S_2(\text{F})$. Учитывая данные работы [5], наиболее вероятной причиной наблюдаемого резкого сужения линии и уменьшения величины $S_2(\text{H})$ в области температур 310—360 К (см. рис. 1, 2) является переход ионов аммония от изотропных реориентаций к диффузии. Оценка энергии активации этого процесса со-

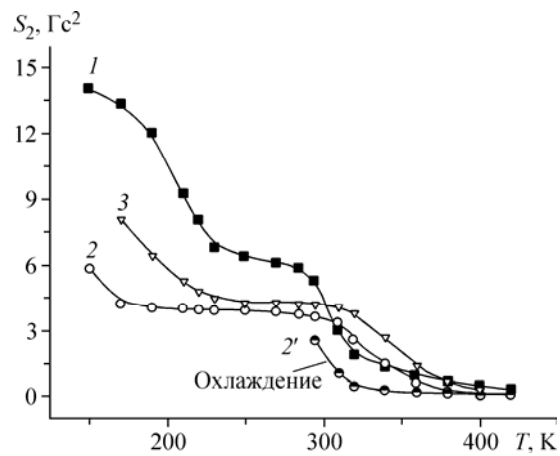
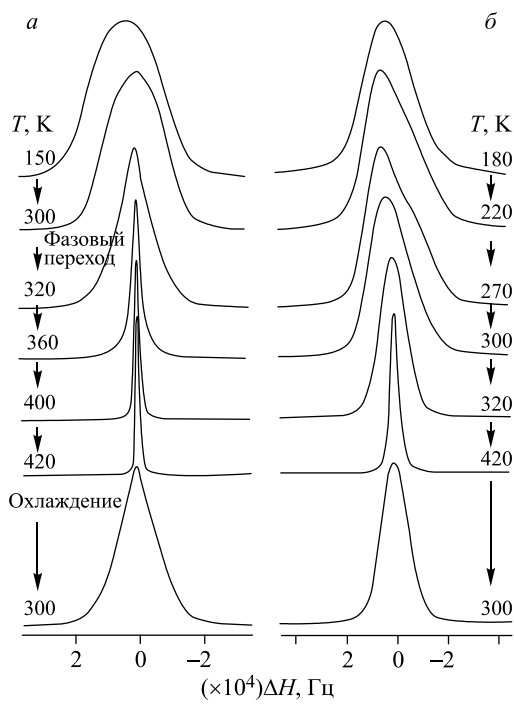


Рис. 1 (слева). Трансформация спектров ЯМР ^1H (а) и ^{19}F (б) соединения $(\text{NH}_4)_{2,4}\text{Rb}_{0,6}\text{ZrF}_7$ при вариациях температуры

Рис. 2 (справа). Температурная зависимость второго момента спектров ЯМР ^1H (2, 2') и ^{19}F (1) соединений $(\text{NH}_4)_{2,4}\text{Rb}_{0,6}\text{ZrF}_7$ (1, 2, 2') и $(\text{NH}_4)_3\text{ZrF}_7$ (3)

ставляет $\approx 48,5$ кДж/моль. Выше 400 К спектр ЯМР ^1H состоит из одиночной симметричной, практически лоренцевой линии с шириной $\approx 1,2$ кГц и вторым моментом менее $0,05 \text{ Гс}^2$, что свидетельствует о том, что диффузия ионов NH_4^+ становится доминирующей формой ионных движений в соединении $(\text{NH}_4)_{2,4}\text{Rb}_{0,6}\text{ZrF}_7$. Отметим, что аналогичное заключение было сделано ранее и для гептафтороцирконата аммония [5, 7], но при этом энергия активации диффузионного движения ионов аммония, оцененная из температурной зависимости $S_2(\text{H})$ по уравнению Уо—Федина, несколько выше: $\approx 53,5$ кДж/моль [7], что довольно близко к величине E_a (54 кДж/моль), полученной позже в [5] при измерении ионной проводимости этого соединения. По мнению авторов [5], хорошее соответствие между энергиями активации, полученными из данных ЯМР и измерений ионной проводимости, а также значений параметров спектров ЯМР ^1H соединений $(\text{NH}_4)_{3-x}\text{K}_x\text{ZrF}_7$ ($x = 0, 1, 2$) выше 300 К ($S_2(\text{H}) \rightarrow 0$), являются убедительными аргументами в пользу диффузии групп NH_4 по механизму "гребного колеса" ("paddle-wheel mechanism") [17].

При охлаждении соединения I от 420 до 300 К наблюдается гистерезис параметров спектров ЯМР ^1H , ^{19}F (см. рис. 1, 2), что свидетельствует о наличии фазового перехода (ФП), при котором образуется β -модификация гептафтороцирконата аммония—рубидия. По данным термогравиметрических исследований полиморфное превращение в этом соединении происходит в области температур 313—318 К, т.е. в том диапазоне температур, когда начинается изменение формы ионных движений в аммонийной подрешетке: изотропные реориентации \rightarrow диффузия ионов NH_4^+ . Высокотемпературная фаза $(\text{NH}_4)_{2,4}\text{Rb}_{0,6}\text{ZrF}_7$ не стабильна и по истечении нескольких часов переходит в исходную модификацию.

Наблюдаемые трансформации формы и второго момента спектров ЯМР ^{19}F при переходе от низких температур к высоким (см. рис. 1, 2) отражают изменение характера ионной подвижности во фторидной подрешетке при вариациях температуры. Ниже 160 К параметры спектра ЯМР отвечают жесткой решетке (в терминах ЯМР [15, 16]). Судя по изменению величины $S_2(\text{F})$ в области температур 160—420 К (см. рис. 1), переход ионов ZrF_7^{3-} от жесткой решетки к конечной форме ионных движений происходит в два этапа. На первом этапе (160—240 К) второй момент спектров ЯМР ^{19}F уменьшается от ~ 14 до $6,5 \text{ Гс}^2$, и при дальнейшем повышении температуры (до 290 К) параметры спектра ЯМР остаются практически неизменными. При этом спектр ЯМР ^{19}F состоит из асимметричной линии (см. рис. 2) с ХС = 151 м.д. ($T = 295$ К). Трансформация спектра ЯМР на втором этапе (295—420 К) связана не только с уменьшением величины $S_2(\text{F})$, но и с изменением в области температур 300—320 К формы линии и величины ХС, что обусловлено, как отмечено выше, наличием ФП. Выше 320 К спектр ЯМР состоит из практически симметричной линии, ширина которой ΔH и $S_2(\text{F})$ уменьшается по мере увеличения температуры. При максимально высокой температуре в эксперименте (425 К) спектр ЯМР ^{19}F исследуемого соединения представлен симметричной одиночной линией ($\delta \approx 143$ м.д., $\Delta H \approx 4,2$ кГц и $S_2 = 0,4 \text{ Гс}^2$), форма которой описывается суперпозицией гауссовой (50 %) и лоренцевой функций. Отметим, что подобный характер температурной зависимости величины $S_2(\text{F})$ наблюдали ранее для соединения $(\text{NH}_4)_3\text{ZrF}_7$ [2, 7], но при этом интервалы температур, в которых происходили изменения этого параметра, и значения второго момента и ширины были несколько иными.

Динамика изменений параметров спектров ЯМР соединения $(\text{NH}_4)_{2,4}\text{Rb}_{0,6}\text{ZrF}_7$ в целом близка рассмотренной ранее динамике для $(\text{NH}_4)_3\text{ZrF}_7$ [2, 7], что позволяет говорить об одинаковом структурном мотиве этих соединений. Анализ литературных данных об $(\text{NH}_4)_3\text{ZrF}_7$ [1, 2, 5, 7, 18], оценок расчетных значений второго момента различных форм движений иона ZrF_7^{3-} (координационный полиэдр — пентагональная бипирамида, $R(\text{Zr}—\text{F}_{\text{экват}}) = 2,00 \text{ \AA}$; $R(\text{Zr}—\text{F}_{\text{аксиал}}) = 2,07 \text{ \AA}$, [19]; внутримолекулярный вклад $S_2^{\text{внутр}}$ для жесткой решетки равен $5,9 \text{ Гс}^2$) и полученных результатов позволяет утверждать, что наблюдаемые изменения параметров спектров ЯМР ^{19}F в диапазоне температур 160—400 К, как и в случае $(\text{NH}_4)_3\text{ZrF}_7$ [2, 5, 7, 18],

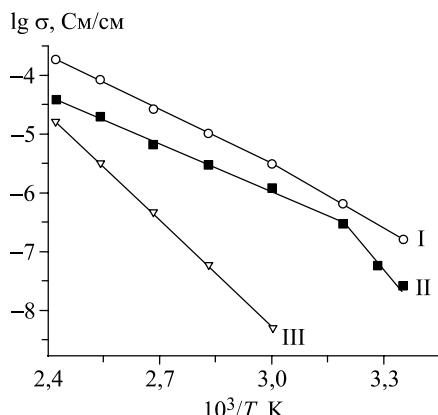


Рис. 3. Температурная зависимость величины ионной проводимости σ в соединениях $(\text{NH}_4)_3\text{ZrF}_7$ (I) $(\text{NH}_4)_{2,4}\text{Rb}_{0,6}\text{ZrF}_7$ (II) и $(\text{NH}_4)_3\text{K}_2\text{ZrF}_7$ (III); последнее — по данным [5]

гии активации этого процесса равно 25 кДж/моль. И только при дальнейшем повышении температуры происходит переход от анизотропных реориентаций ионов ZrF_7^{3-} к изотропным ($E_a \approx 45,5$ кДж/моль). Сравнительно маленькая экспериментальная величина $S_2(F)$ для изотропного вращения комплексного аниона ($0,4 \text{ Гс}^2$ при $T = 425 \text{ K}$) может быть обусловлена полным усреднением диполь-дипольных взаимодействий F—H, которое происходит из-за диффузии ионов аммония. Отметим, что рассчитанный межмолекулярный вклад во второй момент при изотропном вращении иона ZrF_7^{3-} в K_3ZrF_7 (изоструктурном $(\text{NH}_4)_3\text{ZrF}_7$) при использовании ранних структурных данных составляет $0,7 \text{ Гс}^2$ [2], но при этом диффузии в калиевой подрешетке не наблюдается [5].

Наличие диффузионных движений в $(\text{NH}_4)_{2,4}\text{Rb}_{0,6}\text{ZrF}_7$ предполагает высокую ионную проводимость в этом соединении. Из анализа полученных ранее значений σ при 415 K для соединений $(\text{NH}_4)_{3-x}\text{K}_x\text{ZrF}_7$ ($x = 0 - 3$) [5] следует, что по мере уменьшения числа ионов NH_4 в составе соединения ионная проводимость уменьшается более чем на 4 порядка (от $6,4 \times 10^{-5} \text{ См}/\text{см}$ для $x = 0$ до $3,1 \times 10^{-9} \text{ См}/\text{см}$ для $x = 3$). Ионная проводимость в Rb_3ZrF_7 почти на три порядка меньше, чем в K_3ZrF_7 при 200°C [5]. Учитывая данные ЯМР ^1H , ^{19}F , это свидетельствует о том, что в переносе заряда принимают участие только ионы аммония, хотя при этом и наблюдается высокая разупорядоченность во фторидной подрешетке соединений I, II и K_3ZrF_7 , связанная с быстрыми реориентациями комплексных анионов ZrF_7^{3-} [2, 5, 7]. Тогда следует ожидать, что при замещении части ионов аммония более крупным щелочным катионом, не принимающим участие в диффузионных движениях, ионная проводимость соединения с гетероатомной катионной подрешеткой, в общем, должна уменьшаться. В целом, предварительные данные электрофизических измерений указывают на то, что такая тенденция действительно наблюдается при переходе от $(\text{NH}_4)_3\text{ZrF}_7$ к $(\text{NH}_4)_{2,4}\text{Rb}_{0,6}\text{ZrF}_7$.

Температурная зависимость удельной проводимости σ имеет излом при $\sim 315 \text{ K}$ (рис. 3), т.е. в области температуры фазового перехода, когда по данным ЯМР ^1H начинается диффузия ионов аммония. Энергия активации ионной проводимости по данным импедансной спектроскопии составляет 0,51 эВ (49,3 кДж/моль), что достаточно близко по величине энергии активации диффузионного движения ионов аммония (48,5 кДж/моль), оцененной по данным ЯМР ^1H . В области температур 315—425 K линейная зависимость $\lg \sigma = f(10^3/T)$ для высокотемпературной фазы $(\text{NH}_4)_{2,4}\text{Rb}_{0,6}\text{ZrF}_7$ хорошо описывается уравнением Аррениуса—Френкеля, а сама фаза имеет более высокую проводимость при охлаждении образца от 425 до 400 K (см. рис. 3). Сравнение значений величины σ для соединений II и I показывает, что с уменьшением числа ионов аммония в катионной подрешетке соединения ионная проводимость уменьшается ($\sim 1,2 \times 10^{-4}$ [7] до $3,0 \times 10^{-5} \text{ См}/\text{см}$), хотя энергия активации диффузионного движения при замещении части ионов NH_4^+ ионами Rb^+ понижается. Учитывая близость (идентичность) структурных мотивов соединений I и II, можно утверждать, что переносчиками заряда являются

вызваны переходом ионов ZrF_7^{3-} от жесткой решетки к изотропным реориентациям ($S_2^{\text{внутр}} \rightarrow 0$, и второй момент определяется только межмолекулярными взаимодействиями F—F, F—H). При этом на первом этапе (160—240 K), судя по значениям $S_2(F)$, вероятнее всего, реализуются реориентации комплексного аниона вокруг одной из осей симметрии, которые являются основной формой движений в интервале температур 240—290 K. Оценочное значение энергии активации этого процесса равно 25 кДж/моль. И только при дальнейшем повышении температуры происходит переход от анизотропных реориентаций ионов ZrF_7^{3-} к изотропным ($E_a \approx 45,5$ кДж/моль). Сравнительно маленькая экспериментальная величина $S_2(F)$ для изотропного вращения комплексного аниона ($0,4 \text{ Гс}^2$ при $T = 425 \text{ K}$) может быть обусловлена полным усреднением диполь-дипольных взаимодействий F—H, которое происходит из-за диффузии ионов аммония. Отметим, что рассчитанный межмолекулярный вклад во второй момент при изотропном вращении иона ZrF_7^{3-} в K_3ZrF_7 (изоструктурном $(\text{NH}_4)_3\text{ZrF}_7$) при использовании ранних структурных данных составляет $0,7 \text{ Гс}^2$ [2], но при этом диффузии в калиевой подрешетке не наблюдается [5].

Наличие диффузионных движений в $(\text{NH}_4)_{2,4}\text{Rb}_{0,6}\text{ZrF}_7$ предполагает высокую ионную проводимость в этом соединении. Из анализа полученных ранее значений σ при 415 K для соединений $(\text{NH}_4)_{3-x}\text{K}_x\text{ZrF}_7$ ($x = 0 - 3$) [5] следует, что по мере уменьшения числа ионов NH_4 в составе соединения ионная проводимость уменьшается более чем на 4 порядка (от $6,4 \times 10^{-5} \text{ См}/\text{см}$ для $x = 0$ до $3,1 \times 10^{-9} \text{ См}/\text{см}$ для $x = 3$). Ионная проводимость в Rb_3ZrF_7 почти на три порядка меньше, чем в K_3ZrF_7 при 200°C [5]. Учитывая данные ЯМР ^1H , ^{19}F , это свидетельствует о том, что в переносе заряда принимают участие только ионы аммония, хотя при этом и наблюдается высокая разупорядоченность во фторидной подрешетке соединений I, II и K_3ZrF_7 , связанная с быстрыми реориентациями комплексных анионов ZrF_7^{3-} [2, 5, 7]. Тогда следует ожидать, что при замещении части ионов аммония более крупным щелочным катионом, не принимающим участие в диффузионных движениях, ионная проводимость соединения с гетероатомной катионной подрешеткой, в общем, должна уменьшаться. В целом, предварительные данные электрофизических измерений указывают на то, что такая тенденция действительно наблюдается при переходе от $(\text{NH}_4)_3\text{ZrF}_7$ к $(\text{NH}_4)_{2,4}\text{Rb}_{0,6}\text{ZrF}_7$.

Температурная зависимость удельной проводимости σ имеет излом при $\sim 315 \text{ K}$ (рис. 3), т.е. в области температуры фазового перехода, когда по данным ЯМР ^1H начинается диффузия ионов аммония. Энергия активации ионной проводимости по данным импедансной спектроскопии составляет 0,51 эВ (49,3 кДж/моль), что достаточно близко по величине энергии активации диффузионного движения ионов аммония (48,5 кДж/моль), оцененной по данным ЯМР ^1H . В области температур 315—425 K линейная зависимость $\lg \sigma = f(10^3/T)$ для высокотемпературной фазы $(\text{NH}_4)_{2,4}\text{Rb}_{0,6}\text{ZrF}_7$ хорошо описывается уравнением Аррениуса—Френкеля, а сама фаза имеет более высокую проводимость при охлаждении образца от 425 до 400 K (см. рис. 3). Сравнение значений величины σ для соединений II и I показывает, что с уменьшением числа ионов аммония в катионной подрешетке соединения ионная проводимость уменьшается ($\sim 1,2 \times 10^{-4}$ [7] до $3,0 \times 10^{-5} \text{ См}/\text{см}$), хотя энергия активации диффузионного движения при замещении части ионов NH_4^+ ионами Rb^+ понижается. Учитывая близость (идентичность) структурных мотивов соединений I и II, можно утверждать, что переносчиками заряда являются

ся ионы аммония, а ионы рубидия, как, по-видимому, и ионы фтора (см. выше), в ионном транспорте участия не принимают.

ЗАКЛЮЧЕНИЕ

Результаты исследований показывают, что замещение в соединении $(\text{NH}_4)_3\text{ZrF}_7$ части ионов аммония ионами рубидия в целом не меняет характера ионных движений в аммонийной и фторидной подрешетках в соединении со смешанными катионами, хотя переход ионов NH_4^+ от изотропных реориентаций к диффузии начинается при более низких температурах, чем в исходном соединении. Во фторидной подрешетке с повышением температуры ($150 \rightarrow 425$ К) происходит смена формы ионных движений: жесткая решетка \rightarrow анизотропные реориентации \rightarrow изотропное вращение. При этом промежуточный этап, на котором реализуется вращение комплексного аниона вокруг одной из осей симметрии, занимает больший интервал температур, чем в соединении **II**. В соединении с гетероатомной катионной подрешеткой происходит понижение величины ионной проводимости, что связано с уменьшением числа носителей заряда, которыми являются ионы аммония. Регулируя состав катионной подрешетки, можно получить набор соединений, на основе которых могут быть созданы электрохимические устройства с разной ионной проводимостью.

Работа выполнена при финансовой поддержке Российского фонда фундаментальных исследований (грант 05-03-33298).

СПИСОК ЛИТЕРАТУРЫ

1. Тарасов В.П., Буслаев Ю.А. // Изв. АН СССР. Сер. Неорган. материалы. – 1969. – **5**. – С. 1150 – 1151.
2. Тарасов В.П., Буслаев Ю.А. // Журн. структур. химии. – 1969. – **10**. – С. 930 – 932.
3. Avignant D., Mansouri I., Cousseins J.C. // J. Fluor. Chem. – 1980. – **16**. – Р. 592 – 593.
4. Avignant D., Djuardo D., Cousseins J.C. // Ibid. – 1983. – **23**. – Р. 439.
5. Gaumet V., Latouche C., Avignant D., Dupuis J. // Solid State Ionics. – 1994. – **74**. – Р. 29 – 35.
6. Черкасов Б.И., Москвич Ю.Н., Суховский А.А., Давидович Р.Л. // Физика тв. тела. – 1988. – **30**. – С. 1652 – 1661.
7. Кавун В.Я., Сергиенко В.И., Чернышов Б.Н. и др. // Журн. неорган. химии. – 1991. – **36**. – С. 1004 – 1010.
8. Габуда С.П., Давидович Р.Л., Козлова С.Г., Мороз Н.К. // Журн. структур. химии. – 1996. – **37**. – С. 388 – 390.
9. Grott M., Kozak A., Pajak Z. // Z. Naturforsch. – 1996. – **51a**. – S. 991 – 996.
10. Кавун В.Я., Сергиенко В.И. Диффузионная подвижность и ионный транспорт в кристаллических и аморфных фторидах элементов IV группы и сурьмы(III). – Владивосток: Дальнаука, 2004.
11. Кавун В.Я., Герасименко А.В., Слободюк А.Б. и др. // Электрохимия. – 2007. – **43**. – С. 563 – 570.
12. Годнева М.М., Мотов Д.Л. Химия фтористых соединений циркония и гафния. – Л.: Наука, 1971.
13. Герасименко А.В., Кавун В.Я., Диденко Н.А. и др. // Журн. неорган. химии. – 2007. – **52**. – С. 778 – 791.
14. Кавун В.Я., Уваров Н.Ф., Слободюк А.Б. и др. // Электрохимия. – 2005. – **41**. – С. 573 – 582.
15. Абрагам А. Ядерный магнетизм. – М.: Изд-во иностр. лит., 1963.
16. Габуда С.П., Плетнев Р.Н. Применение ЯМР в химии твердого тела. – Екатеринбург: Изд-во Екатеринбург, 1996.
17. Lunden A. // Solid State Commun. – 1988. – **65**. – Р. 1237 – 1240.
18. Pinter M., Lahajnar G., Slivnik J. // Croat. Chem. Acta. – 1966. – **38**. – Р. 63 – 65.
19. Hurst H.J., Taylor J.C. // Acta Crystallogr. – 1970. – **B26**. – Р. 417 – 421.